

## 論文

UDC 699.046.587.4 : 546.418.16 : 621.365.3 : 669.187.26

## エレクトロスラグ溶解用フラックスの電導機構に関する研究\*

荻野 和巳\*\*・原 茂太\*\*\*・橋本 英弘\*\*\*\*

## Study of the Conduction Mechanism of Molten Fluxes for Electroslag Remelting

Kazumi OGINO, Shigeta HARA, and Hidehiro HASHIMOTO

## Synopsis:

Electrical conductivities of  $\text{CaF}_2$ -based fluxes for electroslag remelting were measured and the effects of the additions on the conductivity of  $\text{CaF}_2$  melt were studied. From the results, conduction mechanism of  $\text{CaF}_2$ -based melts were discussed in the term of molar conductivity. The additions of alkali earth metal fluorides and oxides, such as  $\text{MgF}_2$ ,  $\text{BaF}_2$ ,  $\text{MgO}$ ,  $\text{CaO}$  and  $\text{BaO}$ , varied the molar conductivities of  $\text{CaF}_2$ -based melts in accordance with the intensity of cation-anion attraction. It seems that those additions have a tendency to make an ionic pair in the melts. The additions such as  $\text{Al}_2\text{O}_3$ ,  $\text{TiO}_2$  and  $\text{ZrO}_2$ , may react with fluorine ions to make oxy-fluoride complex ions and then remarkable decrease of electrical conductivity by those additions can be explained.

## 1. 緒言

エレクトロスラグ精錬(ESR)用フラックスとして通常フッ化カルシウム( $\text{CaF}_2$ )を主成分とする合成スラグが用いられている。しかし、 $\text{CaF}_2$ を単独で使用することは比較的少なく、種々な添加物を加えて用いられる。これは $\text{CaF}_2$ に対し適当な添加物を加えて精錬作用を強化することと共に、単体では鋼溶解用としては電導度が高すぎて十分な溶解効率を得難いという欠点を添加物の作用で適切な電導度の値(6~3 mho/cm)にまで低下させ克服するためである。

ESR用フラックスの電導度はこの溶解プロセスの発熱機構と直接関係する重要な性質であり、諸家によつて広く研究されてきた。しかしながら、スラグに要求される種々の物性値の中でも電導度の測定値は研究者による相違が著しいものの1つである。これは高温における $\text{CaF}_2$ を主成分とする融体は高温冶金スラグ中でもとくに電導性が良好で、また反応性にも富むことから十分な測定精度を確保することが困難なためである。しかし、すでに報告した交流4端子法<sup>1)</sup>を用いることによつて、このような融体の電導度の正確な測定が可能となつた。

本報ではこの交流4端子法を用いて $\text{CaF}_2$ を主成分とするESR用フラックスの電導度を正確に決定すると共

にその電導機構について考察した。その結果を報告する。

## 2. 実験

## 2.1 測定装置および方法

交流4端子法による高温融体の電導度の測定装置およびその方法に関しては別報<sup>1)</sup>においてすでに詳細に記述したので省略するが、本研究で用いた測定条件を一括してTable 1に示す。測定は1組成について原則として2回以上の測定を繰返し、これら数回の測定によつて得られた測定点を用いてフラックスの電導度と温度との関係を決定した。

Table 1. Experimental conditions for measurements of electrical conductivities of calcium fluoride based fluxes for electro-slag remelting.

method	four terminal method with alternative current
applied frequency	1 kHz
Crucible	moiybdenum crucible with 39mm ID and 50mm height
electrode	1mm <sup>φ</sup> tungsten rod X 4
atmosphere	urtra pure argon (99.999%up)
sample	mixture of chemically pure reagents, dehydrated by vacuum heating

\* 昭和51年11月日本会講演大会にて発表 昭和52年5月25日受付 (Received May 25, 1977)

\*\* 大阪大学工学部 工博 (Faculty of Engineering, Osaka University)

\*\*\* 大阪大学工学部 (Faculty of Engineering, Osaka University, Yamadakami Suita 565)

\*\*\*\* 大阪大学大学院 (現 日本ルツボ(株)) (Graduate School, Now Nikkan Ltd.)

## 2.2 セル定数の決定

前報において<sup>1)</sup>  $\text{CaF}_2$  の  $1500^{\circ}\text{C}$  および  $1600^{\circ}\text{C}$  における比電導度の値を  $6.15 \text{ mho/cm}$  および  $6.40 \text{ mho/cm}$  と定めた。そこで本報においては添加物の効果をより正確に把握するためにこの値を基準として高温  $\text{CaF}_2$  溶浴を用いてセル定数を定めた。セル定数は試料の測定前後について調べることを原則としたが、その値は測定前後で  $\pm 0.5\%$  を越えて変化することはなかつた。

## 2.3 フラックス

工業的に使用されている鋼溶解用実用フラックスは、 $\text{CaF}_2$  を主成分とし、これにフッ化物または酸化物を加えた合成スラグである。そこで本研究では  $\text{CaF}_2$  を主成分としそれに添加物を加えた2成分系に限定して測定を行なつた。試料は特級試薬を配合した合成スラグで、溶解前に真空加熱によって十分脱水した。配合組成と実験終了後の組成との間には以前の研究<sup>2)</sup>において若干の差異が存在することが認められたが、測定値に影響を与えないと考えられたので無視した。

## 3. 結 果

$\text{CaF}_2-\text{CaO}$  系融体の電導度の温度による変化を Fig. 1 に示す。この系は実用フラックス ANF-IP ( $\text{CaF}_2-5\% \text{CaO}$ )、や ANF-7 ( $\text{CaF}_2-20\% \text{CaO}$ )などの基本となる系で、すでに BÅÅK<sup>3)</sup>、EVSEEV<sup>4)</sup>、ZMOIDIN<sup>5)</sup>、WINTERHAGER ら<sup>6)</sup>、MITCHELL ら<sup>7)</sup>によって研究されてきた。本結果は EVSEEV<sup>4)</sup>、や MITCHELL ら<sup>7)</sup>の値と良い一致を示し、BÅÅK<sup>2)</sup> や ZMOIDIN<sup>5)</sup> の測定に見られる  $\text{CaO}$  を少量加えた場合の急激な電導度の上昇は観察されなかつたが、少量の  $\text{CaO}$  を加えた場合若干電導度が増加する傾向は存在する。WINTERHAGER ら<sup>6)</sup>の結果は他の測定者の値と比して少し低値を与えている。本系で特徴的なことは  $37.3 \text{ mol\% CaO}$  を含むフラックス

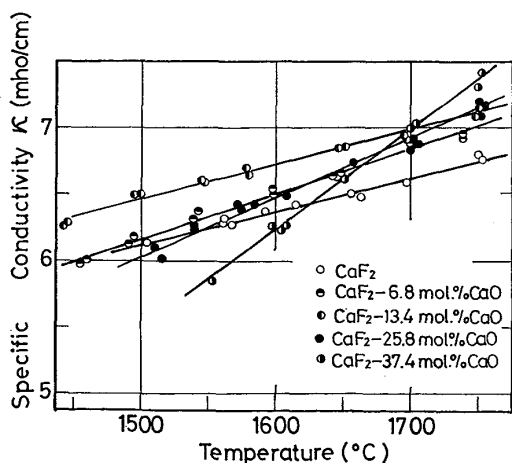


Fig. 1. Electrical conductivity of  $\text{CaF}_2-\text{CaO}$  melts.

で見られるように  $\text{CaO}$  が高くなると比電導度の温度依存性に変化が生ずることにある。同様に添加物によつて比電導度の温度依存性の変化する系としては Fig. 2 に示す  $\text{CaF}_2-\text{MgO}$  系、 $\text{CaF}_2-\text{MgF}_2$  系、Fig. 3 に示す  $\text{CaF}_2-\text{BaO}$  系、 $\text{CaF}_2-\text{BaF}_2$  系がある。すなわち、この傾向はアルカリ土類金属のフッ化物または酸化物を添加した場合に共通する特徴であるように思われる。しかし、これらの添加物は  $1600\sim1700^{\circ}\text{C}$  における  $\text{CaF}_2$  の比電導度の値は大きく変化させる効果はない。これに対し、 $\text{CaF}_2$  融体中では錯イオンを形成すると考えられる  $\text{Al}_2\text{O}_3$ 、 $\text{ZrO}_2$ 、 $\text{TiO}_2$ などを含む系では少し異なる挙動を示す。Fig. 4 には  $\text{CaF}_2-\text{Al}_2\text{O}_3$  系融体の比電導度の温度による変化を示す。この系は実用 ESR 用フラックスとして最も広く用いられている ANF-6 ( $\text{CaF}_2-30 \text{ wt\% Al}_2\text{O}_3$ ) の基本系として重要であり、多くの研究者によって研究されてきた<sup>4)~7)</sup>。本実験において得られたこの系の比電導度の値は EVSEEV の値<sup>4)</sup>と良い一致を示

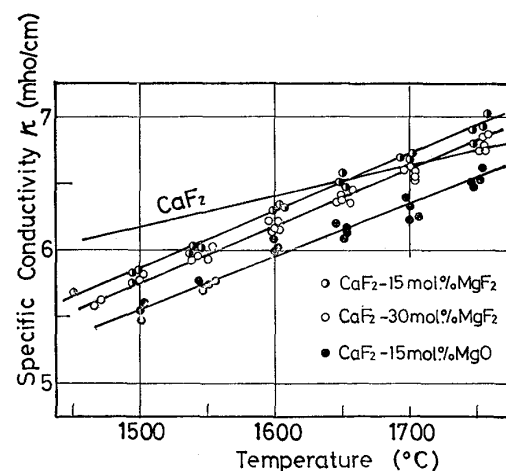


Fig. 2. Electrical conductivities of  $\text{CaF}_2-\text{MgF}_2$  and  $\text{CaF}_2-\text{MgO}$  melts.

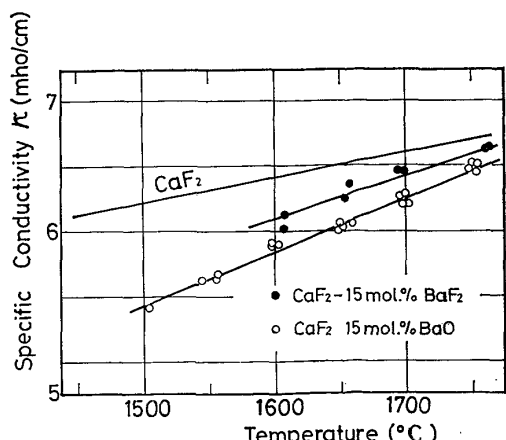


Fig. 3. Electrical conductivities of  $\text{CaF}_2-\text{BaF}_2$  and  $\text{CaF}_2-\text{BaO}$  melts.

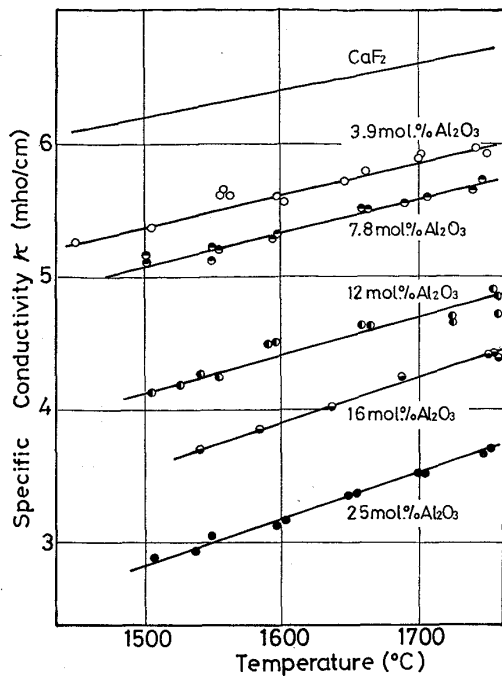
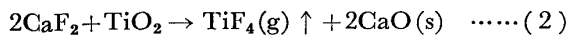
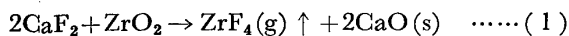


Fig. 4. Electrical conductivities of  $\text{CaF}_2\text{-Al}_2\text{O}_3$  melts.

し、MITCHELL and JOSHI の値<sup>7)</sup>に比して少し高値を示した。 $\text{CaF}_2$  融体への  $\text{Al}_2\text{O}_3$  添加の効果は比電導度の低下に対しては大きな寄与を示すが、その温度依存性をほとんど変えないことが特徴的である。同様な挙動は  $\text{CaF}_2\text{-ZrO}_2$  系および  $\text{CaF}_2\text{-TiO}_2$  系についても期待される。これらの系について電導度の測定を試みた。しかしながら、 $\text{CaF}_2$  に対し  $\text{ZrO}_2$  や  $\text{TiO}_2$  を加えた 2 元系の場合、測定を比較的低温のみに限定すれば比電導度の測定は可能であるが、1600°C 以上の高温では固相が電極の表面に析出付着し、測定を継続することが困難であった。また低温における比電導度の値も表面が浴内部に比して著しく低いという現象が見られた。そこで、高温で溶解した試料を凝固し、その表面部分を取つて粉末 X 線回折によつて調べた。その結果、フラックス浴の表面に高融点化合物  $\text{CaO}\cdot\text{ZrO}_2$  (融点 2350°C) および  $\text{CaO}\cdot\text{TiO}_2$  (1915°C) の存在が認められた。そこで、この系では次のような反応が進行して表面に  $\text{CaO}$  が析出し測定を妨げているものと推察された。



この反応によつて生成する  $\text{CaO}$  の量は高温になるほど大きく、生成速度がスラグ浴中への溶解速度に比して大きいために高温ではとくに顕著な固相の析出が見られると考えられる。そこで、この系の融体に前もつて  $\text{CaO}$  を加えることによつて (1), (2) の反応の進行を

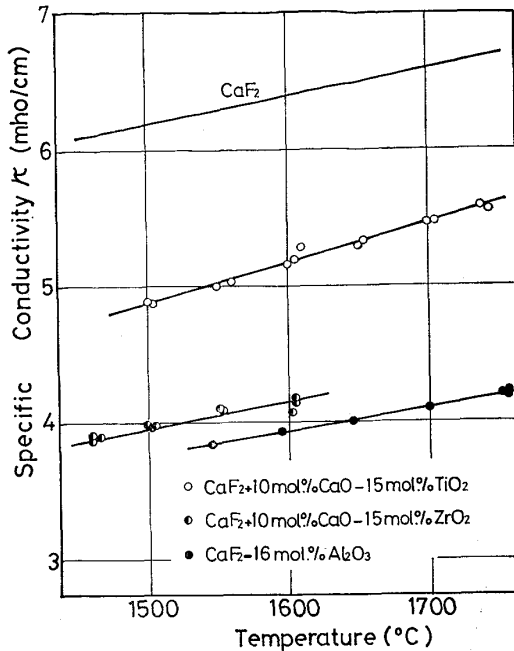


Fig. 5. Electrical conductivities of  $\text{CaF}_2\text{-CaO-TiO}_2$  and  $\text{CaF}_2\text{-CaO-ZrO}_2$  melts.

防ぎ、固相の析出をおさえることを試みた。この目的で融体に 10 mol% の  $\text{CaO}$  を加えた結果、固相の析出はなくなり、またスラグ浴の表面と内部との電導度の差異も消失した。Fig. 5 には 10 mol%  $\text{CaO}$  を含む  $\text{CaF}_2\text{-ZrO}_2$  および  $\text{CaF}_2\text{-TiO}_2$  系スラグの電導度の温度変化を示す。 $\text{ZrO}_2$  や  $\text{TiO}_2$  の添加は  $\text{Al}_2\text{O}_3$  の場合と同様、電導度の低下に大きく寄与するが、その温度依存性は  $\text{CaF}_2$  の場合と変わらない。

以上の結果に基づいて 1600°C における  $\text{CaF}_2$  の比

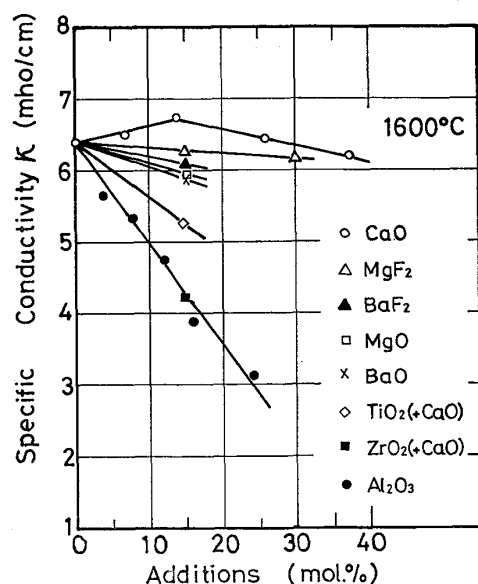


Fig. 6. Change of electrical conductivities of  $\text{CaF}_2$  with additions at 1600°C.

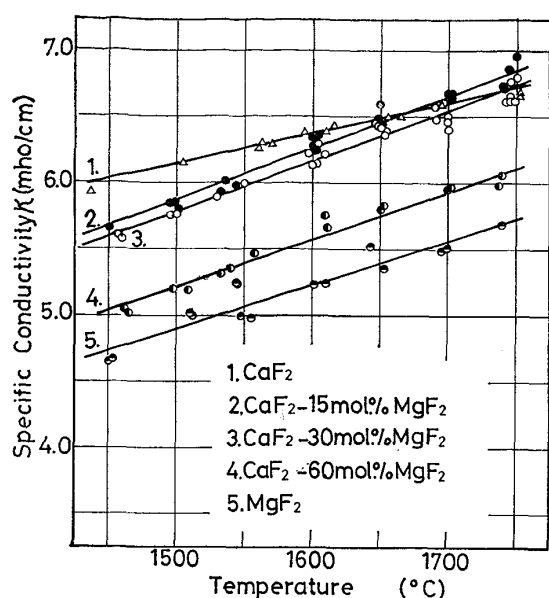


Fig. 7. Effect of temperature on electrical conductivities of  $\text{CaF}_2\text{-MgF}_2$  melts.

電導度に及ぼす添加物の影響を示すと Fig. 6 のようである。

つぎに  $\text{CaF}_2\text{-MgF}_2$  系について全組成範囲にわたって比電導度の温度変化を調べた。その結果は Fig. 7 に示す。この系は  $\text{CaF}_2$  と共にアノイオンを有し、カチオニのみをこことする系であり、全組成範囲にわたって測定が可能である。 $\text{CaF}_2$  に  $\text{MgF}_2$  を加えると Fig. 7 に示すように比電導度は低下し、また比電導度の温度依存性は大きくなる。この結果については後章で考察する。

#### 4. 考 察

##### 4.1 分子電導度による電導機構の考察

イオン性融体における電気伝導は電導イオンの移動過程であつて、その比電導度  $\kappa$  は電導イオンの電荷  $z_i$ 、易動度  $u_i$  および 1 cc 中に含まれる電導イオンの数  $n_i$  によって (3) 式のように表現される。

$$\kappa = \sum n_i (z_i e) u_i \quad (3)$$

ここで  $e$ : 単位電荷

そこでこの融体中に含まれるイオンの解離状態がわかれれば比電導度  $\kappa$  は易動度  $u_i$  のみの関数となり、電導機構は当量電導度を用いて考察することが便利である。しかし、アルカリ土類金属のハロゲン化物  $\text{MX}_2$  についてはどのような解離状態を取るかは十分に知られていない。そこで本研究では分子電導度による整理を試みた。

Fig. 8 には比電導度  $\kappa$ 、当量電導度  $\lambda$  および分子電導度  $A$  の関係を示している。比電導度  $\kappa$  は融体中に 1 cm<sup>3</sup> の立方体を考えた場合、平行する 2 面間の溶液抵抗の逆数

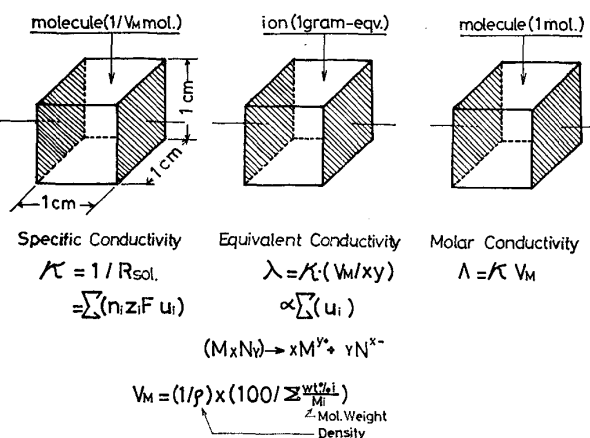
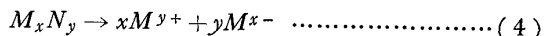


Fig. 8. Relation between specific conductivity and molar conductivity.

で与えられる。また、この立方体中に 1 g 当量のイオンが含まれる場合の電導度が当量電導度  $\lambda$  である。そこで(4)式で示される解離反応が完全に右方向に進行しているとすれば当量電導度  $\lambda$  は比電導度  $\kappa$  およびその融体の分子容  $V_M$  (cc/mol) でもつて(5)式のように与えられる。



$$\lambda = \kappa \left( \frac{V_M}{x y} \right) \quad (5)$$

また分子電導度  $A$  はこの立方体中に 1 mol の分子が含まれる場合の電導度で(6)式で表現される。

$$A = \kappa V_M \quad (6)$$

融体の分子容  $V_M$  はその融体の密度  $\rho$  から(7)式によつて計算することができる。

$$V_M = \frac{1}{\rho} \times \frac{100}{\sum (i\% / M_i)} \quad (7)$$

ここで  $\rho$ : 融体の密度 (g/cc)

$i\%$ : 成分の重量パーセント

$M_i$ : 成分の分子量

そこで分子容の計算にあたつてはその融体の密度を知ることが必要である。融体の 1700°C における密度は次のようにして決定した。 $\text{CaF}_2\text{-CaO}$  系および  $\text{CaF}_2\text{-Al}_2\text{O}_3$  系融体の密度は著者らの 1450~1600°C における密度の実測値<sup>2)</sup>を 1700°C まで外挿して求めた。 $\text{CaF}_2\text{-MgF}_2$  系、 $\text{CaF}_2\text{-BaF}_2$  系については著者らの検討の結果、すなわちフッ化物-フッ化物系は分子容の加成性がかなり広範囲に認められることから、著者らの測定したアルカリ土類金属フッ化物の密度値<sup>3)</sup>を用い、分子容の加成性を仮定して算出した。 $\text{CaF}_2\text{-MgO}$  系、 $\text{CaF}_2\text{-BaO}$  系については同じアルカリ土類金属酸化物を含む  $\text{CaF}_2\text{-CaO}$  系において分子容の加成性が成立すること

から、分子容の加成性を仮定して算出した。この場合、 $MgO$  と  $BaO$  の分子容としては BOCKRIS らの推定値<sup>9)</sup>  $V_{MgO} = 15.82 \text{ cc/mol}$  ( $\rho_{MgO} = 2.55 \text{ g/cc}$ ) と  $V_{BaO} = 28.11 \text{ cc/mol}$  ( $\rho_{BaO} = 5.46 \text{ g/cc}$ ) を採用した。

$CaF_2-CaO-TiO_2$  系および  $CaF_2-CaO-ZrO_2$  系の密度  $\rho$  については EVSEEV ら<sup>10)</sup>の与えた式を少し変形した(8)式によつた。

$$\frac{100}{\rho} = 0.416(\%CaF_2) + 0.375(\%CaO) \\ + 0.370(\%ZrO_2) + 0.462(\%TiO_2) \quad \dots \dots \dots (8)$$

(単位 wt%)

以上のようにして推定した  $1700^{\circ}\text{C}$  における融体の密度および分子容の Table 2 に示す。

Fig. 9 には融体中において錯イオンを形成しないと考えられる添加物を加えた場合の  $1700^{\circ}\text{C}$  における分子

Table 2. Densities and molar volume for fluxes at  $1700^{\circ}\text{C}$ .

Flux	density(g/cc)	molar volume(cc/mol)
$CaF_2$	2.407	32.44
$CaF_2-3.9\text{mol.\%}Al_2O_3$	2.394	33.00
$CaF_2-7.8\text{mol.\%}Al_2O_3$	2.397	33.35
$CaF_2-11.9\text{mol.\%}Al_2O_3$	2.414	33.55
$CaF_2-16.1\text{mol.\%}Al_2O_3$	2.435	33.65
$CaF_2-24.2\text{mol.\%}Al_2O_3$	2.494	33.62
$CaF_2-6.8\text{mol.\%}CaO$	2.424	31.60
$CaF_2-13.7\text{mol.\%}CaO$	2.434	30.84
$CaF_2-25.7\text{mol.\%}CaO$	2.455	29.50
$CaF_2-37.3\text{mol.\%}CaO$	2.482	28.15
$CaF_2-15\text{mol.\%}MgO$	2.432	29.78
$CaF_2-15\text{mol.\%}BaO$	2.701	33.09
$CaF_2-15\text{mol.\%}BaF_2$	2.697	34.36
$CaF_2-15\text{mol.\%}MgF_2$	2.388	31.70
$CaF_2-30\text{mol.\%}MgF_2$	2.370	30.96
$CaF_2-60\text{mol.\%}MgF_2$	2.328	29.47
$MgF_2$	2.267	27.49
$CaF_2-10\text{mol.\%}CaO-15\text{mol.\%}ZrO_2$	2.476	33.40
$CaF_2-10\text{mol.\%}CaO-15\text{mol.\%}TiO_2$	2.387	32.15

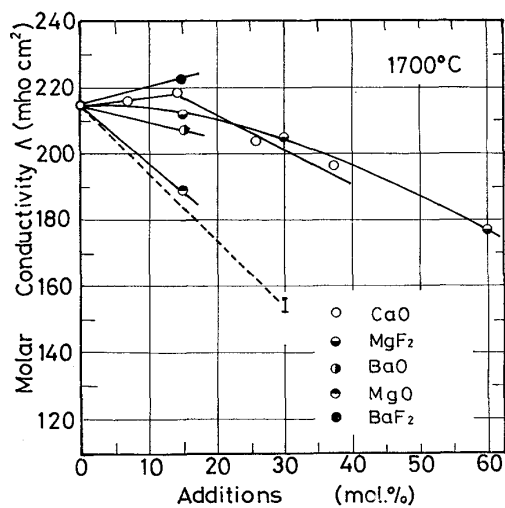


Fig. 9. Change of molar conductivities of  $CaF_2$  with additions at  $1700^{\circ}\text{C}$ .

電導度の変化を示す。Fig. 9 における破線 I は融体中の添加物が電導に寄与せず、 $CaF_2$  融体を希釈する効果しか持たないとした場合の分子電導度の変化で、(9) 式で示される。

$$\Lambda = \Lambda_{CaF_2} \cdot N_{CaF_2} \dots \dots \dots (9)$$

ここで  $\Lambda_{CaF_2}$ — $CaF_2$  の分子電導度

$N_{CaF_2}$ — $CaF_2$  のモル分率

この結果は加えられたアルカリ土類フッ化物および酸化物はすべて電導に関与していることを示している。そしてその寄与は  $MgO$  で最小、 $BaF_2$  で最大となる。ここでとくに注目すべきは  $CaO$  の場合である。 $CaO$  は 15 mol%までの添加は分子電導度を増すが、それ以上では分子電導度を低下させる。KOJIMA and MASSON<sup>11)</sup>の  $CaF_2$  系融体の融点降下に関する研究によれば  $CaF_2-CaO$  は固溶体を作るといわれ(固溶限は 20 mol% $CaO$  と考えている)、これに対し、 $MgO$  と  $BaO$  とはイオン対を作つて溶解すると考えている。したがつて  $CaO$  を加えることによる分子電導度の増加は固体  $CaF_2$  の電導<sup>12)</sup>におけると同様に融体中における 2 個のフッ素イオンの占有位置が 1 個の酸素イオンによつて置換されることによつて生ずるフッ素のアニオン空孔が電導に関与するものだと考えられる。

今、融体中に働く力としてカチオン-アニオン間の静電的引力をパラメータとして 15 mol% の添加物を含む融体の分子電導度を表わすと Fig. 10 のようである。ここで  $CaO$  を含む系については前述のようにフッ素イオン空孔の電導への寄与が考えられるため 30 mol% 附近の値を採用した。添加物による分子電導度の変化はカチオン-アニオン間に働く静電的引力が大きくなると増加

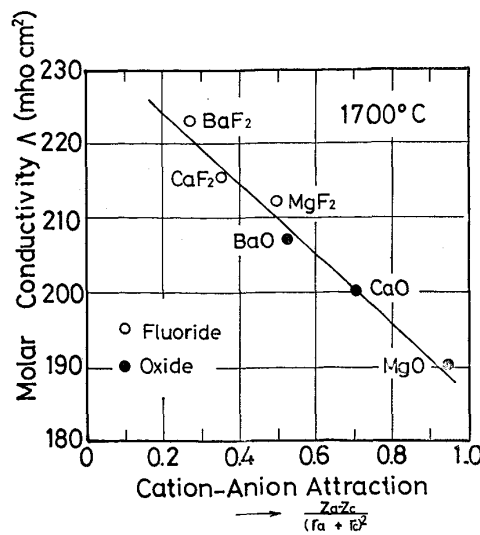


Fig. 10. Relation between molar conductivity and cation-anion attraction.





Table 4. Values of activation enthalpies  $\Delta H^*$ , activation entropies  $\Delta S^*$  and activation energies  $\Delta G^*$  for various fluorides at melting point.

fluoride	melting point (°K)	$\lambda = \lambda_0 \exp(-E_A/RT)$		dielectric constant	interatomic distance (Å)	$\Delta H^*$	$-\Delta S^*$	$\Delta G^*$
		$\lambda_0$	E <sub>A</sub>			(kcal/g-ion)	(eu)	(kcal/g-ion)
LiF	1120	312.6	1783.8	3	1.95	1.78	6.85	9.45
NaF	1268	344.7	2964	3	2.30	2.96	7.32	12.24
KF	1131	402.7	2495	3	2.70	2.50	7.64	11.14
CsF	976	741.8	3262	3	3.30	3.26	6.89	9.98
MgF <sub>2</sub>	1536	348	5308	3	1.42	5.31	6.76	15.69
CaF <sub>2</sub>	1691	269	3650	3	2.04	3.65	5.84	13.52

 $D$  : 融体の誘電率 ( $\sim 3$  とする) $l_i$  : 電導イオンの平均ジャンプ距離の  $1/2$  $\Delta H^*$ ,  $\Delta S^*$  : 電導の活性化エンタルピーとエントロピー

そこで本実験値を用いて  $MgF_2$  および  $CaF_2$  の融点近傍における電導の活性化エントロピー ( $\Delta S^*$ ) および活性化エンタルピー ( $\Delta H^*$ ), 活性化エネルギー ( $\Delta G^*$ ) を求めた。分子容は著者らの測定値を用い、誘電率としては 3 をまた分子の完全解離を仮定した。アルカリ金属フッ化物については JANZ の集録の値<sup>18)</sup>を用いて計算を行なつた。その結果を Table 4 に示す。  $\Delta H^*$  および  $\Delta G^*$  の値はアルカリ土類金属フッ化物はアルカリ金属フッ化物に比して高い。これに対し、 $\Delta S^*$  の値は 6~7 eu 程度で、他のアルカリハロゲン化物の値<sup>19)</sup> やアルカリ土類金属珪酸塩についての値<sup>20)</sup>と大差がない。これは活性化状態におけるエネルギーの再配列の仕方がイオン融体の電導においては差のないことを示している。そして融体としての特性は活性化エンタルピー項の差異に表われている。

## 5. 結論

$CaF_2$  を主成分とする ESR 用フラックスの比電導度を  $1450\sim1750^\circ C$  の間で交流 4 端子法を用いて測定した。その結果、アルカリ土類金属フッ化物および酸化物を添加した場合、 $1700^\circ C$  附近の比電導度を変化させないことを示した。しかし、その温度依存性は変化した。これに対し融体中で錯イオンを形成する酸化物  $Al_2O_3$ ,  $ZrO_2$ ,  $TiO_2$  などの添加は比電導度を低下させる効果を持っている。分子電導度に基づいて電導機構を考察した結果、アルカリ土類金属フッ化物、酸化物添加の効果はカチオン-アニオン間に働く静電的引力の大なる添加物ほど分子電導度の低下に対する寄与は大きく、このことはこれら添加物が融体中でイオン対を作る傾向が強いことを示している。 $Al_2O_3$ ,  $ZrO_2$ ,  $TiO_2$  などの添加による分子電導度の低下は、添加物が融体中で、オキシフル

オライド錯イオンを形成する結果として電導に関与するフッ素イオンの移動を妨げることに関連していると推察される。

本研究を行なうに当り研究費の一部は鉄鋼基礎共同研究会特殊精鍊部会の援助を付記すると共に討論ならびに有益なコメントをたまわつた同部会第 4 分科会委員各位に感謝します。

## 文 献

- 1) 萩野和巳, 橋本英弘, 原茂太: 鉄と鋼, 投稿中
- 2) 萩野和巳, 原茂太: 鉄と鋼, 投稿中
- 3) I. BAAK: Acta Chem. Scand. 9 (1955), No. 8, p. 1406
- 4) P. P. EVSEEV: Avtomat. Svarka (1967) No. 11, p. 42
- 5) H. ZMOIDIN: Izvest. Akad. Nauk SSSR (1970) No. 3, p. 71
- 6) H. WINTERHAHER, R. KAMMEL and A. GAD: Forschungs berichte des Landes Norderhein-Westfalen, (1970), Nr. 2115
- 7) A. MITCHELL and S. JOSHI: Met. Trans., 3 (1972) No. 8, p. 2306
- 8) 萩野和巳, 原茂太: 鉄と鋼, 投稿中
- 9) J. W. TOMLINSON, A. F. HEYES and J. O. M. BOCKRIS: Trans. Faraday Soc. 54 (1958), p. 1822
- 10) P. P. EVSEEV and A. F. FILIPPOV: Izv. VUZov. Chern. Met. (1967) No. 5, p. 49
- 11) H. KOJIMA and C. R. MASSON: Canadian J. Chem. 47 (1969), p. 4221
- 12) R. W. URE Jr.: J. Chem. Phys., 26 (1957) No. 6, p. 1363
- 13) W. KLEMM and W. BILTZ: Z. Anorg. Allgem. Chem. 152 (1926), p. 255, 267
- 14) 伊藤勝久, 中村英次: 住友軽金属技報, 17 (1976) No. 1~2, p. 61
- 15) H. BLOOM: The Chemistry of Molten Salts, (1967), [Benjamin]
- 16) W. E. DUCKWORTH and G. HOYLE: Electro-slag Refining, (1969), [Chapman and Hall]
- 17) I. S. YAFFE and E. R. VAN ARTSDALEN: J. Phys. Chem., 60 (1956), p. 1125
- 18) G. J. JANZ: Molten Salts Handbook, (1967), [Academic Press]
- 19) J. O. M. BOCKRIS, J. A. KITCHENER, S. IGNATOWICZ and J. W. TOMLINSON: Trans. Faraday Soc., 48 (1952), p. 75